

第二章 粒子的运动学性质 和高能物理实验

第一节 粒子的运动学性质

1. 自然单位制

常数	约定	量纲	数值关系
光速	$c = 1$	[长度]=[时间]	$1s = 2.9979 \times 10^8 m$
普朗克常数	$\hbar = 1$	[能量]=[时间] ⁻¹	$1(MeV)^{-1} = 6.582 \times 10^{-22} s$
玻尔兹曼常数	$k = 1$	[能量]=[温度]	$1eV = 11604K$

粒子物理中常用的长度大单位是费米 (fm): $1 fm = 10^{-15} m$

自然单位制下唯一的单位——电子伏特

常用的单位有: eV, keV, MeV, GeV, TeV

长度单位费米 (fm) 和能量单位 (eV) 的关系:

$$\hbar c = 197.3 (MeV \cdot fm) = 1$$
$$1 fm = (197.3 MeV)^{-1}$$

- 粒子物理中普遍使用，以避免数字写起来太麻烦，不直观

- 光速 $c=1 \Rightarrow [\text{长度}] = [\text{时间}]$

$$1s = 2.9979 \times 10^8 \text{ m}$$

- $\hbar=1 \Rightarrow [\text{能量}] = 1/[\text{时间}]$

$$1 (\text{MeV})^{-1} = 6.582 \times 10^{-22} \text{ s}$$

- 波尔兹曼常数 $k=1 \Rightarrow [\text{能量}] = [\text{温度}]$

$$1\text{eV} = 11604 \text{ K}$$

- 电子伏特 **eV, keV, MeV, GeV, TeV**
 $10^3 \quad 10^6 \quad 10^9 \quad 10^{12}$
- 长度：费米 **1fm=10⁻¹⁵ m**
- 截面：**barn 1b = 10⁻²⁸ m²**
- 往回换算时，也需应用上面的自然量
- **hc=197 MeV fm**
- 普遍的自然单位制：**G_N=1**
- 或者 普朗克质量 **M_{plank} = (h c/G_N)^{1/2} = 1**
- 数字太大，不方便

2. 狭义相对论——Minkowski 度规和符号

$$\text{度规张量: } g_{\mu\nu} = g^{\mu\nu} = \begin{pmatrix} 1 & 0 & 0 & 0 \\ 0 & -1 & 0 & 0 \\ 0 & 0 & -1 & 0 \\ 0 & 0 & 0 & -1 \end{pmatrix} \quad \mu, \nu = 0, 1, 2, 3$$

$$\text{时空坐标(四矢量): } x^\mu = (t, \vec{x}) \quad x_\mu = g_{\mu\nu} x^\nu = (t, -\vec{x})$$

$$\text{四动量: } p^\mu = (E, \vec{p}) \quad p_\mu = g_{\mu\nu} p^\nu = (E, -\vec{p})$$

$$\text{两个四矢量的标积: } A \cdot B = g_{\mu\nu} A^\mu B^\nu = A_\mu B^\mu = A^\mu B_\mu = A^0 B^0 - \vec{A} \cdot \vec{B}$$

$$\text{例如: } x^2 = x_\mu x^\mu = t^2 - \vec{x}^2 \quad p^2 = p_\mu p^\mu = E^2 - \vec{p}^2$$

$$\text{类时动量: } p^2 > 0 \quad \text{类空动量: } p^2 < 0$$

$$\text{质壳条件: } E^2 = \vec{p}^2 + m^2 \quad \longrightarrow$$

$$\text{实的在壳粒子的4度动量 在此度规下} \quad p^2 = m^2 \geq 0$$

3.粒子的质量——静止质量m

自由粒子波函数满足 薛定谔 方程 $i \frac{d}{dt} |t\rangle \equiv H|0\rangle = E|0\rangle$

哈密顿量**H**的测量值的物理意义是该粒子的总能量**E**。

对于稳定粒子，在该粒子的质心系中，**E**就是该粒子的质量**E=m**，薛定谔方程的解为

$$|t\rangle = e^{-imt} |0\rangle \quad \langle t|t\rangle = \langle 0|0\rangle = 1$$

归一化条件是与时间无关的，**t**时刻粒子在全空间中存在的概率为**1**，不随时间变化。

对于不稳定粒子，薛定谔方程的解为则需要修改，引入哈密顿量**H**的复本征值

$$E = m - i \frac{\Gamma}{2} \quad \text{其中负号是考虑到因果关系。}$$

$$|t\rangle = e^{-i\left(m - i \frac{\Gamma}{2}\right)t} |0\rangle$$

归一化条件为 $\langle t|t\rangle = e^{-\Gamma t} \langle 0|0\rangle = e^{-\Gamma t}$

也就是说，粒子数是时间的函数 $N(t) = N(0)e^{-\Gamma t}$

4. 粒子的寿命——能量本征值中虚部的物理意义

大多数已发现的粒子是不稳定的。即粒子存在一段时间后就会衰变。粒子的寿命是指其静止时的寿命，相对论造成运动的粒子寿命延长，效果很显著，可以延长很多。

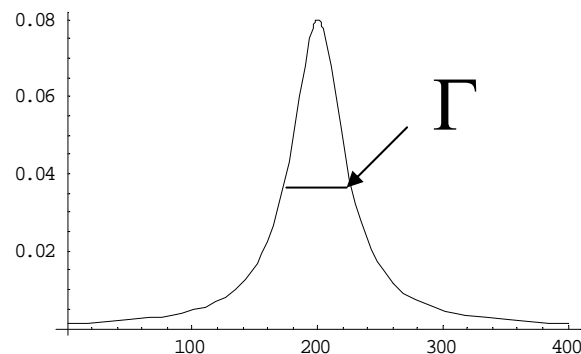
对自由粒子波函数作Fourior变换

$$\varphi(M) = \int_{-\infty}^{\infty} \frac{dt}{\sqrt{2\pi}} e^{iMt} |t\rangle = \int_{-\infty}^{\infty} \frac{dt}{\sqrt{2\pi}} e^{iMt} e^{-i(m-i\frac{\Gamma}{2})t} |0\rangle = \frac{1}{\sqrt{2\pi}} \frac{1}{(M-m) + i\frac{\Gamma}{2}} |0\rangle$$

我们可以得到不稳定粒子的（归一化）质量分布函数

$$\rho(M) \equiv \Gamma \varphi(M) \varphi(M)^* = \frac{\Gamma}{2\pi} \frac{1}{(M-m)^2 + \Gamma^2/4}$$

Γ 是质量分布函数的半高宽，通常称为粒子的宽度。



- 粒子的寿命通常指大量粒子的平均寿命。

令 $N(t)$ 为 t 时刻某种不稳定粒子的数目，在 dt 时间间隔中，由于衰变，粒子数改变了 dN ，则 dN 应正比于 N ，还正比于 dt 。这样应有：

粒子的宽度和寿命的关系： $\tau = \frac{1}{\Gamma}$

$$dN(t) = -\frac{1}{\tau} N(t) dt$$

$$N(t) = N(0)e^{-t/\tau}$$

$$\langle t \rangle = \int_0^{\infty} t dN / \int_0^{\infty} dN = \tau$$

- 对于不稳定粒子，一般有不只一种衰变方式但只有唯一的寿命，对应于全（总）宽度 Γ ， $\Gamma \tau = 1$ 。

不同衰变方式对总宽度的贡献称为分宽度（即单位时间内粒子衰变到该衰变道的几率），记为 Γ_i ，这样又引入一个概念——该衰变方式的分支比：

$$R_i = \frac{\Gamma_i}{\Gamma}$$

- 对于寿命长的粒子，在探测器中留下径迹，可以测量寿命 τ

$$m\tau = Et - pL = E \frac{L}{v} - pL = E^2 \frac{L}{p} - pL = \frac{1}{p}(E^2 - p^2)L = \frac{m^2}{p}L$$

$$\tau = \frac{m}{p}L,$$

$$L = vt = \frac{v\tau}{\sqrt{1-v^2}} = \frac{p}{E} \frac{\tau}{\sqrt{1-(p/E)^2}} = \frac{p\tau}{\sqrt{E^2 - p^2}} = \frac{p\tau}{m}$$

- 对于寿命短的粒子，可以测量宽度 Γ
- 但对于中间的粒子最讨厌（不长不短），可以测量分支比 R_i ，理论上计算 Γ_i ，加起来得 Γ 利用 $\Gamma_i = \Gamma R_i$ ，实验和理论联系起来

- 一些粒子的寿命:

$$\gamma \quad \tau = \infty$$

$$e \quad \tau > 2 \times 10^{22} \text{ yr}$$

$$\mu \quad \tau = (2.19703 \pm 0.00004) \times 10^{-6} \text{ s}$$

$$n \quad \tau = (896 \pm 10) \text{ s}$$

$$\pi^{\pm} \quad \tau = (2.6029 \pm 0.0023) \times 10^{-8} \text{ s}$$

$$\pi^0 \quad \tau = (8.4 \pm 0.6) \times 10^{-17} \text{ s}$$

5. 粒子的电荷

基本电荷单位 $e = (1.60217733 \pm 0.00000048) \times 10^{-19} \text{ C}$

质子电荷和电子电荷差的实验结果: $\frac{|q_p - q_e|}{q_e} < 10^{-21}$

电荷量子化: Dirac从理论上推出, 如果自然界存在磁单极, 则电荷量子化是严格成立的。

$$qg = \frac{n}{2}, n = 1, 2, 3, \dots$$

夸克的电荷是分数的: $q = \frac{2}{3}, -\frac{1}{3}$

已发现的粒子的最大电荷为2: $\Delta^{++}, \Delta^+, \Delta^0, \Delta^-$

6. 粒子的自旋

- 粒子的自旋是粒子的基本性质之一，其量子数可取整数或半整数

玻色子：自旋为整数的粒子，服从玻色统计。 $J = 0, 1, 2, \dots$

费米子：自旋为半整数的粒子，服从费米统计。 $J = \frac{1}{2}, \frac{3}{2}, \frac{5}{2}, \dots$

常见的粒子的自旋：

	e	μ	p	n	π	γ	W^{\pm}	Z
J	1/2	1/2	1/2	1/2	0	1	1	1

已发现的粒子的最大的自旋是 $J = 11/2$

- 四度极化矢量: \mathbf{e}_μ
- 极化矢量应有归一化条件: $\mathbf{e}_\mu \mathbf{e}^\mu = 1$
- 也就是 $\mathbf{e}^0 \mathbf{e}_0 - \mathbf{e}_\perp \mathbf{e}_\perp - \mathbf{e}_\parallel \mathbf{e}_\parallel = 1$
- 一般矢量粒子自旋为1, 在动量方向上投影, 一般应有三个方向: 1, 0, -1。
- 矢量粒子只有三个独立极化方向如写

$$\mathbf{e} = (\mathbf{e}_\perp, \mathbf{e}_\parallel) \quad \mathbf{e}_\perp \text{ 两个横向, } \mathbf{e}_\parallel \text{ 一个纵向}$$

对于光子来说，

- 洛伦兹条件: $\partial^\mu \mathbf{A}_\mu = 0$ 量子场论 $\partial \rightarrow \mathbf{k}$
- 动量表象: $\mathbf{k}^\mu \mathbf{e}_\mu = 0$
- 即 $\mathbf{k}^0 \mathbf{e}_0 - \mathbf{k} \cdot \mathbf{e} = 0$ 则有 $\mathbf{k}^0 \mathbf{e}_0 - |\mathbf{k}| \mathbf{e}_\parallel = 0$
- 0质量 \rightarrow 能量 = 动量 ($\mathbf{k}^0 = |\mathbf{k}|$, $E^2 = p^2$), 所以 $\mathbf{e}_\parallel = \mathbf{e}_0$
- 即对光子来说, 有: $\mathbf{e}_\perp \mathbf{e}_\perp = -1$
- 所以光子有两个极化方向: 它们是横向的。
- 实际上, 由上面的讨论知道, 只有1, -1 两个。
- 螺旋度 (**helicity**) 的定义: $\mathbf{k} \cdot \mathbf{S} / |\mathbf{k}|$ 或叫手征性
handedness
- 右手+1, 左手-1, 在三维空间是标量

7. 粒子的磁矩

- 从经典图象来看，带电粒子在外磁场中做圆周运动产生（轨道）磁矩。如果带电粒子也有内禀角动量——自旋，则也有内禀磁矩 (intrinsic Magnetic momentum)，也就是我们常说的粒子的磁矩。粒子的内禀磁矩可以表示为

$$\mu = g \frac{e}{2m} S \equiv g S \mu_B$$

μ_B 是玻尔磁子(Bohr's magneton)
g 是旋磁比(gyromagnetic ratio)

- 狄拉克通过Dirac方程推出电子的旋磁比g=2，更广泛的关系是，对于点粒子场，有gS=1。粒子的内禀磁矩对磁关系的偏离成为反常磁矩。最常见的几种费米子的内禀磁矩如下：

$$e \quad gS = 1.001159622209(31)$$

$$\mu \quad gS = 1.001165923(9)$$

$$p \quad gS = 2.7928444(11)$$

$$n \quad gS = -1.91304308(54)$$

- 电子和muon子的反常磁矩来源于电磁场的自相互作用，质子和中子的反常磁矩与正常磁矩偏离很大，是因为它们是复合粒子，反常磁矩是粒子内部结构的一种体现。

第二节 粒子的运动学描述

1. 粒子的能量和动量 (E, \vec{p})

- 粒子的能量和动量构成一个Lorentz四矢量: $p^\mu = (E, \vec{p})$

- 粒子的运动速度: $\vec{v} = \frac{\vec{p}}{E}$

如果两个参照系的相对运动速度为 v , 则三动量可以写成: $\vec{p} = (p_L, \vec{p}_T)$

能动量的Lorentz变换关系为:

$$p_L' = \gamma(p_L - vE)$$
$$E' = \gamma(E - vp_L)$$

其中, $\gamma = (1 - v^2)^{-1/2}$

- 自由粒子的能量和动量满足“质壳条件”: $E^2 = m^2 + \vec{p}^2$

2. 快度和赝快度

- 两个惯性系中的速度变换关系: $v_L' = \frac{v_L - v}{1 - v_L v}, v_T' = \frac{v_T \gamma}{1 - v_L v}$

为了表述方便, 引入快度(rapidity) y, Y : $thy = v_L, thY = v$

$$chy = \frac{1}{\sqrt{1 - v_L^2}}, shy = \frac{v}{\sqrt{1 - v_L^2}}$$

- 两个惯性系中粒子的快度只相差一个常数: 假设两个惯性系的相对速度为 v , 则相对快度为

$$Y = \frac{1}{2} \ln \frac{1+v}{1-v} \quad y = \frac{1}{2} \ln \frac{1+v_L}{1-v_L} = \frac{1}{2} \ln \frac{E+p_L}{E-p_L}$$

由快度的定义,

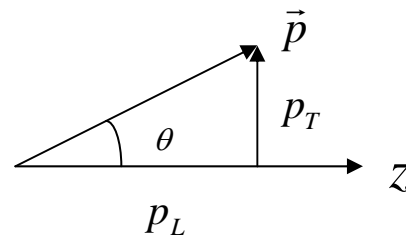
$$y' = \frac{1}{2} \ln \frac{E'+p_L'}{E'-p_L'} = \frac{1}{2} \ln \frac{(1-v)(E+p_L)}{(1+v)(E-p_L)} = y - Y$$

快度在纵向平移变换中具有相加性, 快度差具有 Lorentz 不变性。

$$Y = \frac{1}{2} \ln \frac{1+v}{1-v}$$

- 在实验中一般引入赝快度: $\eta = -\ln \tan \frac{\theta}{2}$

θ 为粒子飞行方向与纵轴之间的夹角



快度和赝快度的关系:
假设粒子的质量为0, 则

$$p_L = p_T \sinh y, E = p_T \cosh y \quad \Rightarrow \quad \frac{p_L}{p_T} = \cot \theta = \sinh y, \frac{p}{p_T} = \frac{1}{\sin \theta} = \cosh y$$

$$\eta = \ln(\cosh y + \sinh y) = -\ln e^{-y} = y$$

更普遍地,

$$\eta = -\ln \tan \frac{\theta}{2} = \ln \frac{1 + \cos \theta}{1 - \cos \theta} = \ln \frac{1 + (p_L / p)}{1 - (p_L / p)} \Rightarrow$$

$$\text{th } \eta = \frac{p_L}{p} = \frac{p_L}{E} \frac{E}{p} = \text{th } y \sqrt{p^2 + m^2} / p = \text{th } y \sqrt{1 - \frac{m^2}{p^2}} \quad \Rightarrow \quad y = \text{th}^{-1} \left[\frac{\text{th } \eta}{\sqrt{1 + (m^2 / p^2)}} \right]$$

在大横动量条件下

$$(p_T \gg m)$$

$$y = \eta - \frac{m^2}{2p_T^2} \cos \theta$$

- 在快度为0 (粒子静止) 附近, 二者差别大一些, 在其它时候 (快速运动粒子) 二者差别不大。实验上定出的是 η , 因为角度容易测量, 而理论上要用 y

3. 实验室系和质心系

粒子的许多运动性质是在其静止系中描述的，而测量是在实验室坐标系，两个基本点坐标系之间通过Lorentz变换联系起来，但很不方便。根据相对论等价原理，惯性参照系是等价的。通过寻找粒子体系的运动学Lorentz不变量来描述粒子的运动是一个简便的途径。对于多粒子体系，质心系是很有用的坐标系。

考虑两个粒子组成的系统——两粒子体系在研究粒子碰撞和粒子的两体衰变时很常见，其质心系总能量 E_{cm} 是一个重要的不变量：

$$m_{inv}^2 \equiv E_{cm}^2 = (E_1 + E_2)^2 - (\vec{p}_1 + \vec{p}_2)^2 = m_1^2 + m_1^2 + 2E_1E_2 - 2p_1p_2 \cos \theta$$

其中 θ 是两个粒子运动方向之间的夹角。如果考虑的是两个粒子的碰撞， E_{cm} 是碰撞后产生的全部粒子质量和的上限；二粒子在质心系都静止最省能量，如果这两个粒子是由一个粒子衰变而来的， E_{cm} 就是初态粒子的质量。

$$m_{inv}^2 \equiv E_{cm}^2 = (E_1 + E_2)^2 - (\vec{p}_1 + \vec{p}_2)^2 = m_1^2 + m_1^2 + 2E_1E_2 - 2p_1p_2 \cos \theta$$

- 对撞实验:

两个粒子经过加速实现对撞, 当其质量远小于加速能量时有

$$E_{cm}^2 = 4E_1E_2$$

如果是两个基本点对称粒子的对撞, 则有效反应能为质心系能量, 即两个粒子能量的和

$$E_{cm} = 2E$$

- 打靶实验

如果一个高速粒子去碰撞一个静止的靶粒子，即所谓打靶实验，可以简单表为（第二个粒子为靶粒子），

$$E_{cm}^2 = m_1^2 + m_2^2 + 2E_1m_2$$

考虑入射粒子的相对论极限（高能加速器），有：

$$E_{cm}^2 = 2E_1m_2 \Rightarrow E_{cm} = \sqrt{2E_1m_2}$$

即质心系能量和入射粒子的能量的平方根成正比。

例如，**Fermi**实验室进行的正反质子对撞实验，要得到**2TeV**的质心系能量，质子和反质子（质子和反质子质量约为**1GeV**）分别加速到**1TeV**即可，但如果换成打靶实验，则入射粒子需要加速到

$$E_1 = \frac{E_{cm}^2}{2m_p} \sim 2000TeV$$

所以，高能加速器都是考虑对撞机实验，而不是打靶实验。

4. N个粒子反应的Lorentz不变量

- 考虑一个粒子的衰变或两个粒子碰撞所产生的反应，如果初态 和末态共涉及n个粒子，考察由这n个粒子的四维动量 可以组成多少个 Lorentz不变量. 一般是Lorentz标量，以避免坐标系变换。

两粒子碰撞反应： $A + B \rightarrow C + D + \dots$

单粒子衰变反应： $A \rightarrow B + C + D + \dots$

- 二个四度矢量的内积是标量。n个四动量有n-1个独立（能动量守恒条件），它们能构成的Lorentz不变量共有 $n(n-1)/2$ ，其中n个质壳条件。由此可见n个粒子反应中独立的可变的Lorentz不变量个数为

$$\frac{1}{2}n(n-1) - n = \frac{1}{2}n(n-3)$$

二体衰变 $A \rightarrow B + C$ 没有独立的Lorentz标量，动量都是确定的。

n	4	5	6	7	...
独立标量个数	2	5	9	14	...

例子：二体到二体散射 $1+2 \rightarrow 3+4$

能动量守恒条件:

$$p_1 + p_2 = p_3 + p_4$$

三个**Lorentz**标量:

$$s \equiv (p_1 + p_2)^2 = (p_3 + p_4)^2$$

$$t \equiv (p_1 - p_3)^2 = (p_2 - p_4)^2$$

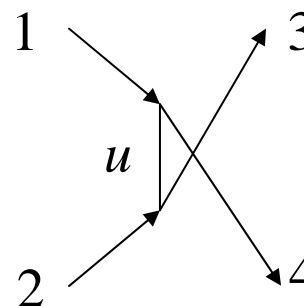
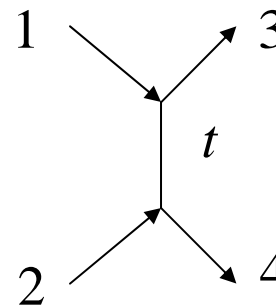
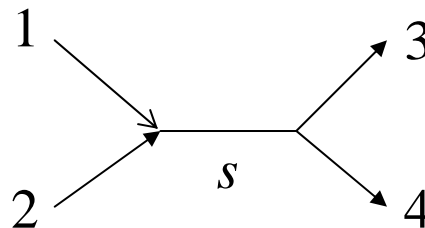
$$u \equiv (p_1 - p_4)^2 = (p_2 - p_3)^2$$

$$s + t + u = m_1^2 + m_2^2 + m_3^2 + m_4^2$$

只有两个是独立的:

s: 质心系总能量平方

t: 四维动量转移平方



5. N体末态相空间(动量空间)

空间体积元 $d^3\vec{x}$ 不是 Lorentz 不变的, 时间间隔元 dt 也不是 Lorentz 不变的, 但四维时空体积元 $d^3\vec{x}dt$ 则是 Lorentz 不变的. 同样地, 动量相空间体积元 $d^3\vec{p}$ 不是 Lorentz 不变的, 能量间隔元 dE 也不是 Lorentz 不变的, 但四维动量相空间体积元 $d^3\vec{p}dE$ 则是 Lorentz 不变的.

另外, 末态粒子都是在壳的, 能量和动量满足“质壳条件”: $E^2 = m^2 + \vec{p}^2$

再考虑正能量条件, $E > 0$.

引入阶梯函数:

$$\theta(E) = \begin{cases} 1, E > 0 \\ 0, E \leq 0 \end{cases} \implies$$

也是一个 Lorentz 不变量
因为能量在 Lorentz 变换下不改变符号, 因此函数值在 Lorentz 变换下不变.

则自由粒子的四维相空间不变体积元为:

$$d^4p \delta(p^2 - m^2) \theta(p^0) = dp^0 d^3\vec{p} \delta(p^2 - m^2) \theta(p^0) = d^3\vec{p} dE \delta(E^2 - \vec{p}^2 - m^2) \theta(E)$$

四维动量积分可以先把能量积掉, 有:

$$\delta(f(x)) = \frac{1}{|f'(x)|} \delta(x)$$

$$\begin{aligned} & \int d^3\vec{p} dE \delta(E^2 - \vec{p}^2 - m^2) \theta(E) \\ &= \int d^3\vec{p} dE \frac{1}{|2E|} \left[\delta\left(E - \sqrt{\vec{p}^2 + m^2}\right) + \delta\left(E + \sqrt{\vec{p}^2 + m^2}\right) \right] \theta(E) \\ &= \int d^3\vec{p} \frac{1}{\sqrt{\vec{p}^2 + m^2}} = \int \frac{d^3\vec{p}}{2E} \end{aligned}$$

所以n体相空间积分元为:

$$d\Phi_n = (2\pi)^4 \delta\left(\sum_i p_i - \sum_{f=1}^n p_f\right) \prod_{f=1}^n \frac{d^3 \vec{p}_f}{(2\pi)^3 2E_f}$$

其中, δ 函数来自初末态总能动量守恒, $(2\pi)^3$ 来自**Planck**常数 \hbar 的定义。

如果末态粒子的质量都为**0**, 则计算大大简化,

$$\Phi_2 = \frac{(2\pi)^4}{4(2\pi)^5}, \Phi_3 = \frac{(2\pi)^4 s}{32(2\pi)^7}, \dots$$

$$\frac{\Phi_3}{\Phi_2} = \frac{s}{32\pi^2}$$

一般来说, 多体相空间要比少体的小得多

$$\frac{\Phi_{n+1}}{\Phi_n} = \frac{s}{16\pi^2 n(n-1)} \Rightarrow \Phi_n = \frac{(2\pi)^4}{4(2\pi)^5 (n-1)!(n-2)!} \left(\frac{s}{16\pi^2} \right)^{n-2}$$

运动学上考虑, 有限的初态衰变质量, 产生的粒子数越多, 概率越小

应用举例：粒子的二体衰变 $A \rightarrow B + C$

$$\begin{aligned} d\Gamma &= (2\pi)^4 \delta(p_A - p_B - p_C) \frac{1}{2m_A} \frac{d^3 \vec{p}_B}{(2\pi)^3 2E_B} \frac{d^3 \vec{p}_C}{(2\pi)^3 2E_C} |T|^2 \\ &= \frac{|T|^2}{32\pi^2 m_A} \delta(E_A - E_B - E_C) \frac{|\vec{p}_B|^2 d|\vec{p}_B| d\Omega}{E_B E_C} = \frac{|\vec{p}_B| |T|^2 d\Omega}{32\pi^2 m_A^2} \end{aligned}$$

$$dE_A = dE_B + dE_C = \frac{|p_B| d|p_B|}{E_B} + \frac{|p_B| d|p_B|}{E_C} = \frac{E_A |p_B| d|p_B|}{E_B E_C}$$

$$\Gamma = \int \frac{|\vec{p}_B| |T|^2 d\Omega}{32\pi^2 m_A^2} = \frac{1}{8\pi} \frac{|\vec{p}_B|}{m_A^2} \overline{|T|^2}$$

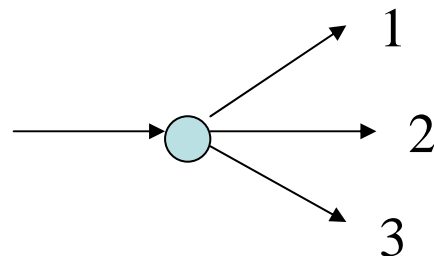
6. 三体衰变, Dalitz图

粒子的三体衰变过程, 初末态粒子总数为4, 根据前面的讨论, 共有独立的2个Lorentz不变量。类似两体散射过程,

$$m_{12} = s_1 = (p_1 + p_2)^2 = (P - p_3)^2$$

$$m_{23} = s_2 = (p_2 + p_3)^2 = (P - p_1)^2$$

$$m_{13} = s_3 = (p_3 + p_1)^2 = (P - p_2)^2$$

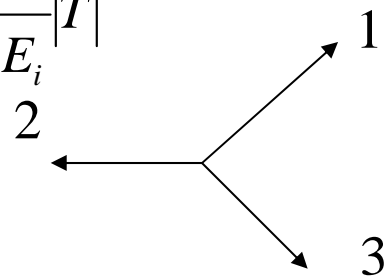


可以证明, $m_{12} + m_{23} + m_{31} = s_1 + s_2 + s_3 = M^2 + m_1^2 + m_2^2 + m_3^2$

三体衰变的微分宽度为

$$d\Gamma = (2\pi)^4 \delta(p - p_1 - p_2 - p_3) \frac{1}{2M} \prod_{i=1}^3 \frac{d^3 \vec{p}_i}{(2\pi)^3 2E_i} |T|^2$$

在衰变粒子质心系 $p = (E, \vec{0}), \vec{p} = \vec{p}_1 + \vec{p}_2 + \vec{p}_3 = 0$



如果衰变粒子是标量粒子, 或者对其自旋状态求平均, 则

$$\begin{aligned} \Phi_3(M) &= \int \prod_{i=1}^3 \frac{d^3 \vec{p}_i}{(2\pi)^3 2E_i} (2\pi)^4 \delta(\vec{p}_1 + \vec{p}_2 + \vec{p}_3) \delta(M - E_1 - E_2 - E_3) \\ &= \frac{1}{32\pi^3} \int dE_1 dE_3 \end{aligned}$$

$$\Gamma = \frac{1}{(2\pi)^3 8M} \int dE_1 dE_3 |T|^2 = \frac{1}{(2\pi)^3 32M^3} \int ds_1 ds_2 |T|^2$$



另类**Dalitz**图的形式



Dalitz图的标准形式

标准的**Dalitz**图是在 $s_1 s_2$ 平面上描绘三体衰变的物理允许区域。当然也可以用其他运动学变量如 $E_1 E_2$ 等来表述，只要这些量和 $s_1 s_2$ 可以通过一个线性变换联系起来。

Dalitz图的物理意义很明显：

$$\frac{d\Gamma}{ds_1 ds_2} = \frac{1}{(2\pi)^3} \frac{1}{32M^3} |T|^2$$

也就是说，如果三体衰变的实验数据画在**Dalitz**图上，数据点的密度正比于衰变矩阵元的平方。反过来，也可以通过**Dalitz**图上的数据点的分布来研究衰变粒子的若干性质。

•Dalitz图

s_1, s_2 的积分区域的确定比较繁琐，不在这里具体介绍，有兴趣的同学可以参看E. Byckling 和K. Kajantie 的书《Particle Kinematics》(John Wiley & Sons, 1973)。结果见右边的公式。

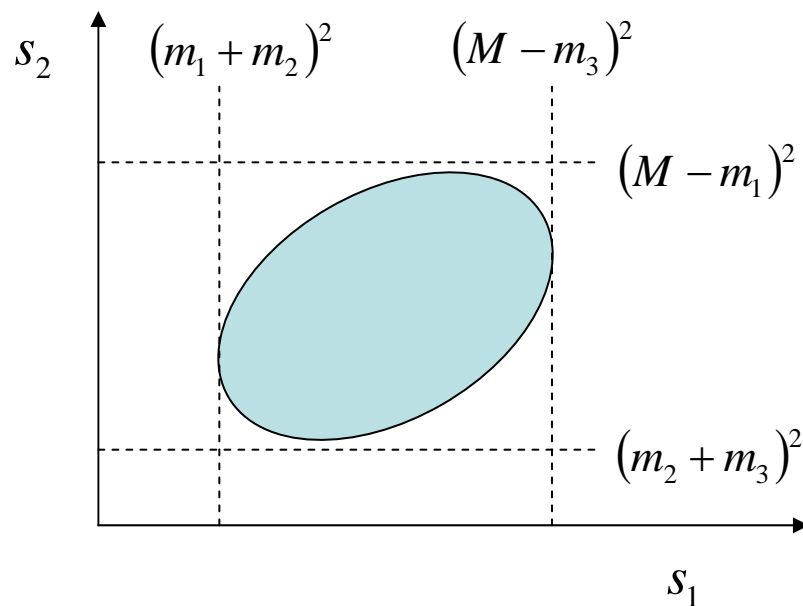
Dalitz图的边界由末态粒子的三动量共线给出。对于具体的末态粒子质量，边界线可以直接计算出来。同一粒子的不同三体末态的Dalitz图是不相同的，密度决定于衰变矩阵元平方，形状决定于末态粒子的质量。

$$\Gamma = \frac{1}{(2\pi)^3 32M^3} \int ds_1 ds_2 |T|^2$$

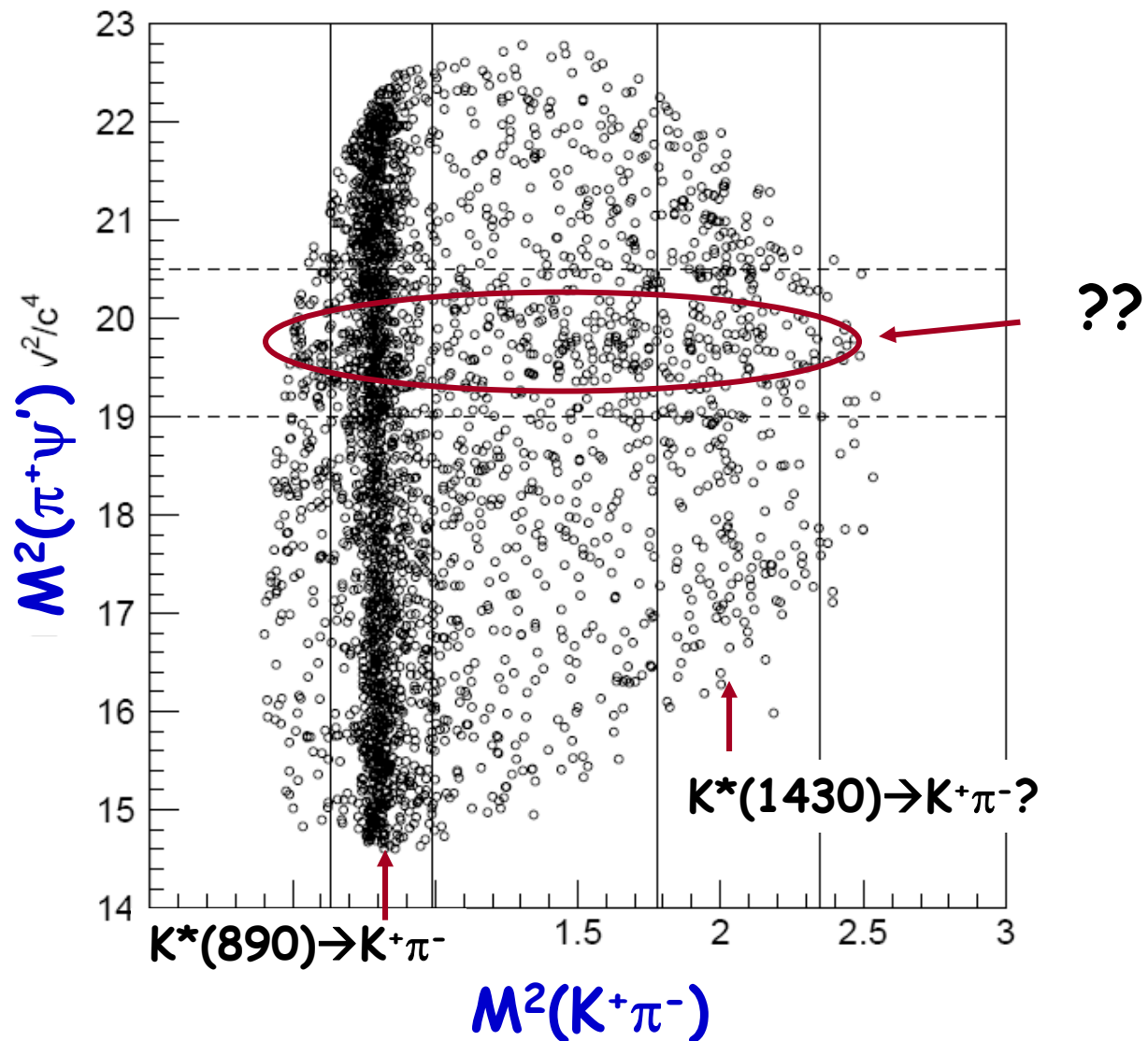
$$(m_1 + m_2)^2 \leq s_1 \leq (M - m_3)^2$$

$$(m_2 + m_3)^2 \leq s_2 \leq (M - m_1)^2$$

$$(m_3 + m_1)^2 \leq s_3 \leq (M - m_2)^2$$



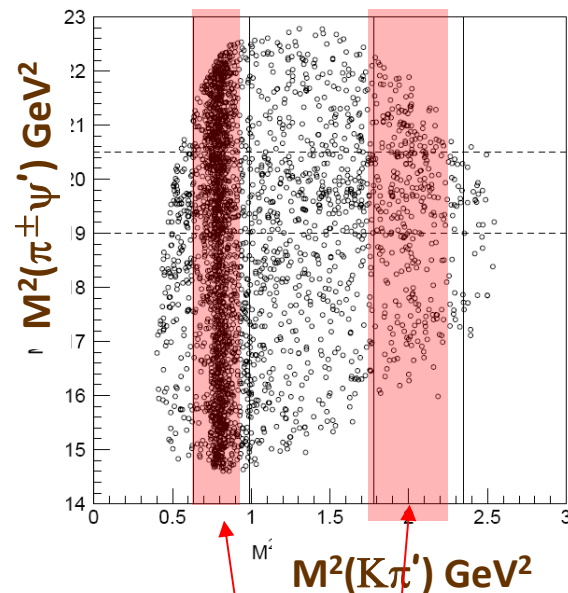
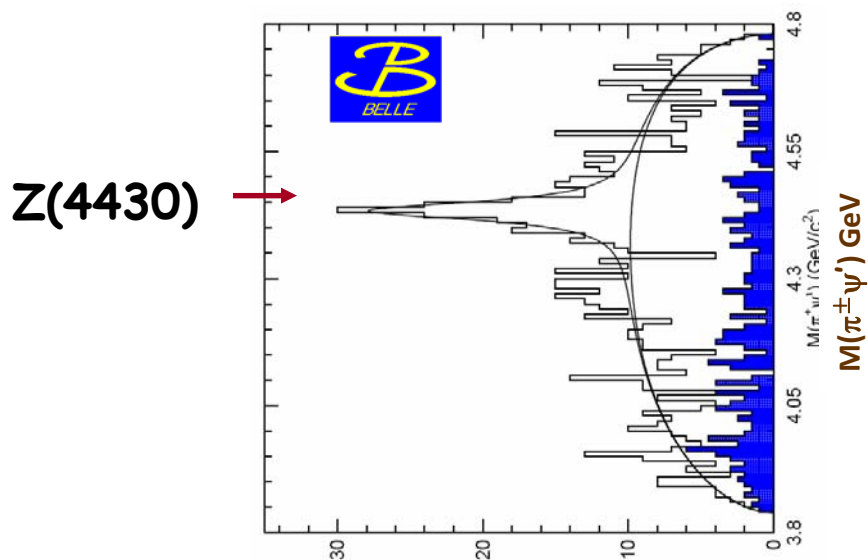
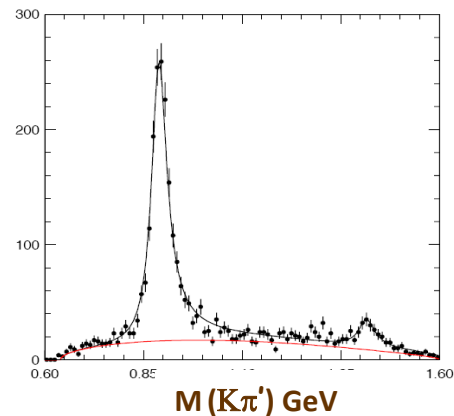
$B \rightarrow K^\pm \pi^\mp \psi'$ (in Belle)



The $Z(4430)^\pm \rightarrow \pi^\pm \psi'$ peak

$B \rightarrow K \pi^+ \psi'$

$M = 4433 \pm 4 \pm 2 \text{ MeV}/c^2$
 $\Gamma_{\text{tot}} = 45^{+18+30}_{-13-13} \text{ MeV}$
 $N_{\text{sig}} = 121 \pm 30 \text{ evts}$
 $\chi^2/\text{dof} = 80.2/94.0 \quad 6.5 \sigma$



"K* Veto"

•另类Dalitz图

因为粒子的动能为总能量减去静止质量， $T_1 = E_1 - m_1, T_3 = E_3 - m_3$
我们有

$$\Gamma = \frac{1}{(2\pi)^3 8M} \int dE_1 dE_3 |T|^2 = \frac{1}{(2\pi)^3 8M} \int dT_1 dT_3 |T|^2$$

另外，质心系中末态粒子的动能之和 Q 为常数，

$$Q = T_1 + T_2 + T_3 = E_1 + E_2 + E_3 - m_1 - m_2 - m_3 = M - m_1 - m_2 - m_3$$

从平面几何知等边三角形内任何一点到三边的距离之和为常数，等于等边三角形的高。因此，可以将三体衰变的数据（末态粒子质心系动能）画在高为 Q 的等边三角形内，这样的图是另类Dalitz图。

但是，并不是三角形内的每一点都代表物理上允许的运动学分布，典型的例子是三角形的顶点——不满足能动量守恒。

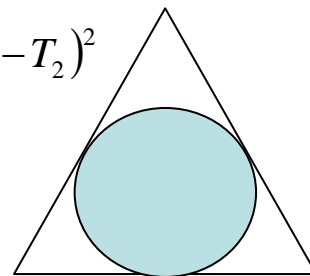
考虑衰变末态三个粒子质量相同的情形：

$$m_1 = m_2 = m_3 = m$$

在质心系中，有 $p_3^2 = p_1^2 + p_2^2 + 2p_1 p_2 \cos \theta \quad \Rightarrow \quad 4p_1^2 p_2^2 \leq (p_3^2 - p_1^2 - p_2^2)^2$

在非相对论情形下， $T_i = \frac{p_i^2}{2m} \quad \Rightarrow \quad 4T_1 T_2 \geq (T_3 - T_1 - T_2)^2$

$4T_1 T_2 = (T_3 - T_1 - T_2)^2$ 表示等边三角形的内接圆

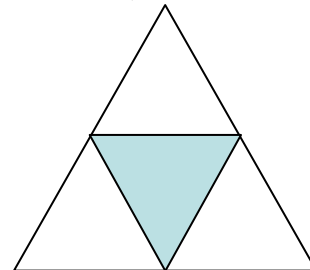


$$4T_1 T_2 \geq (T_3 - T_1 - T_2)^2$$

在极端相对论情形下：

$$T_i = E_i = p_i$$

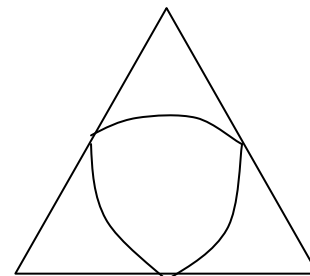
$$T_3 = \begin{cases} T_1 + T_2 \\ T_1 - T_2 \\ -T_1 + T_2 \end{cases} \quad \begin{array}{ccc} \xleftarrow{p_3} & \longrightarrow & p_1 \\ \xleftarrow{p_1} & \longrightarrow & p_2 \\ \xleftarrow{p_2} & \longrightarrow & p_3 \end{array}$$



$$T_i = E_i = p_i$$

物理情形介于非相对论情形和极端相对论情形之间。

和Dalitz图一样，三角形内阴影区的事例点密度正比于衰变矩阵元的平方。通过事例点的分布可以研究衰变的动力学机制，也有可能确定初态粒子的自旋、宇称等量子数



物理情形

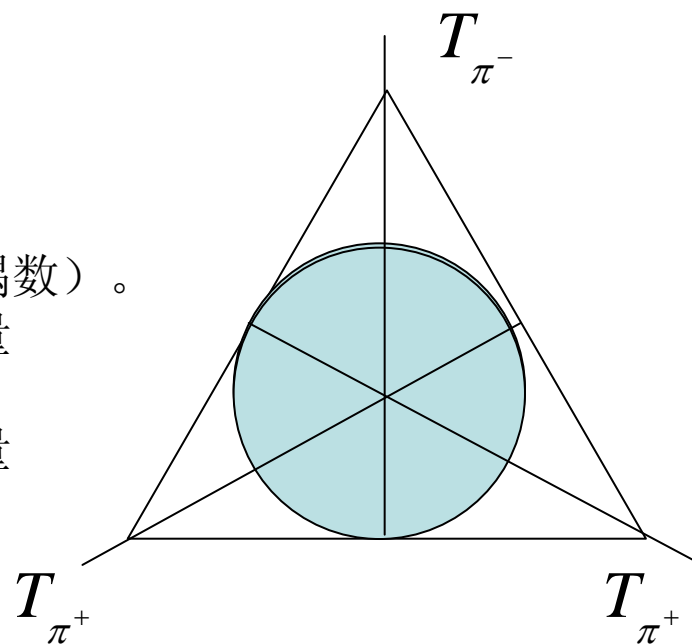
Dalitz图的应用示例——确定 K^+ 介子的自旋：

$$K^+ \rightarrow \pi^+ \pi^+ \pi^-$$

设两个 π^+ 介子之间轨道角动量为 L 。两个介子为全同玻色子，因此 $L = 0, 2, 4, \dots$ （偶数）。另外的 π^- 介子相对 $\pi^+ \pi^+$ 对的轨道角动量记为 l ，则 l 的可能取值为 $l = 0, 1, 2, \dots$ 。

1) 若 $L \geq 2$ ，即 $\pi^+ \pi^+$ 对的轨道角动量具有较大值，因此 $\pi^+ \pi^+$ 对占去较多能量，于是 π^- 的动量就会减少。如果是这种情况，Dalitz图中圆的上部事例点的分布就会减少。

2) 若 $l \geq 1$ ，则 π^- 相对于 $\pi^+ \pi^+$ 对具有较大的轨道角动量，则其动能也较大，于是Dalitz图中圆的下部事例点的分布就会减少。

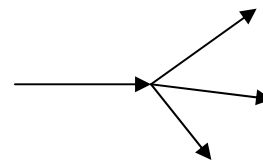
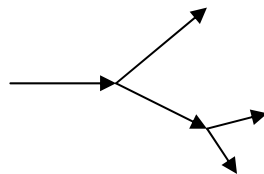


比较实验上测得的事例点分布，没有发现事例点的分布有偏移现象，事例点的分布是均匀的。因此排除了上述两种可能性。 L 和 l 只能为 $L=0$ 和 $l=0$ 。因为已经知道 π 介子的自旋为 0，所以 K^+ 介子的自旋只能是 0。

综合示例——利用不变质量谱分析共振态

$$A \rightarrow B + C \rightarrow C + D + E$$

$$A \rightarrow C + D + E$$



考虑初态粒子A衰变到C，D，E末态的过程。

为方便，假设参加反应的粒子都是中性无自旋粒子。

如果末态粒子D，E也可以通过

一个中间过程产生，即A先衰变到B、C，B然后衰变到D、E，则我们可以利用前面介绍的两体衰变宽度公式

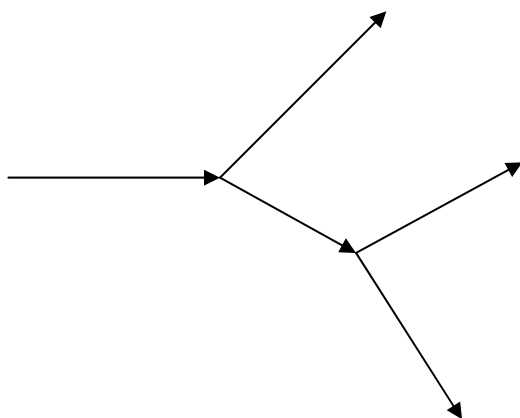
$$\Gamma_A = \int \frac{|\vec{p}_B|^2 |T|^2 d\Omega}{32\pi^2 m_A^2} = \frac{1}{8\pi} \frac{|\vec{p}_B|}{m_A^2} \overline{|T|^2} = \frac{1}{8\pi} \frac{m_A^2 - m_B^2}{2m_A^3} \overline{|T(A \rightarrow BC)|^2}$$

$$\Gamma_B = \frac{1}{16\pi} \frac{1}{m_B} \overline{|T(B \rightarrow DE)|^2}$$

$$m_A = \sqrt{m_B^2 + k_B^2} + k_B \Rightarrow k_B = \frac{m_A^2 - m_B^2}{2m_A}$$

引入等效相互作用的拉氏量： $L_{eff} = fABC + gBDE$

则上式中的矩阵元可以用等效耦合常数代替： $\Gamma_A = \frac{f^2}{16\pi} \frac{m_A^2 - m_B^2}{m_A^3}, \Gamma_B = \frac{g^2}{16\pi} \frac{1}{m_B}$



如果考虑传播函数，

证明见后页

$$\frac{1}{p^2 - \alpha + i\beta} = \frac{1}{p^2 - m_B + im\Gamma_B}$$

也可以得到上面的A 的衰变宽度。考虑前面的等效拉氏量和左边的Feynman图，我们可以定性地写出这个过程的振幅

$$T(A \rightarrow BC \rightarrow CDE) \propto \frac{1}{s_1 - m_B + im_B\Gamma_B}$$

DE的散射截面为

$$\sigma \propto \frac{1}{(s_1 - m_B^2)^2 + m_B^2 \Gamma_B^2} \approx \frac{1}{4m_B^2 (\sqrt{s_1} - m_B)^2 + \frac{1}{4} \Gamma_B^2}$$

窄共振近似:

$$I = \int_0^M ds_2 \int_0^{M-s_2} ds_1 \frac{1}{(s_1 - \alpha)^2 + \beta^2} \quad (M = m_A^2)$$

$$= \frac{M - \alpha}{\beta} \left\{ \left(\arctan \frac{M - \alpha}{\beta} + \arctan \frac{\alpha}{\beta} \right) + \frac{\beta}{M - \alpha} \ln \frac{\alpha^2 + \beta^2}{(M - \alpha)^2 + \beta^2} \right\}$$

$$\boxed{\beta \ll \alpha, \beta \ll M - \alpha} \quad \Rightarrow \quad \arctan \frac{M - \alpha}{\beta} + \arctan \frac{\alpha}{\beta} \approx \pi$$

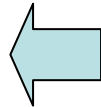
$$I \approx \pi \frac{M - \alpha}{\beta}$$



$$\Gamma_A = \frac{f^2}{16\pi} \frac{g^2}{16\pi} \frac{m_A^2 - \alpha}{m_A^3 \beta}$$

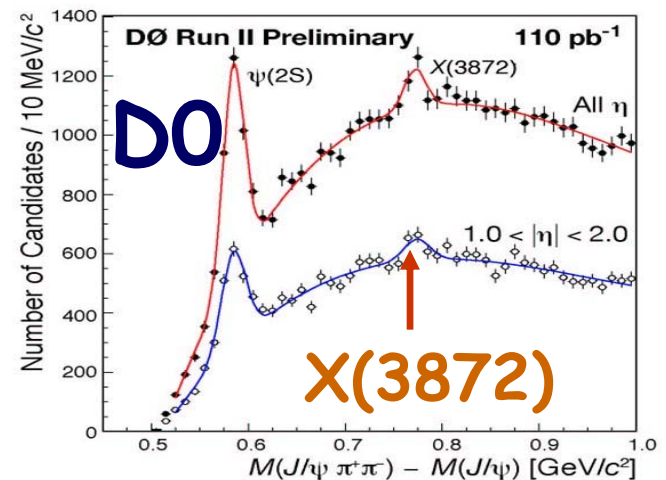
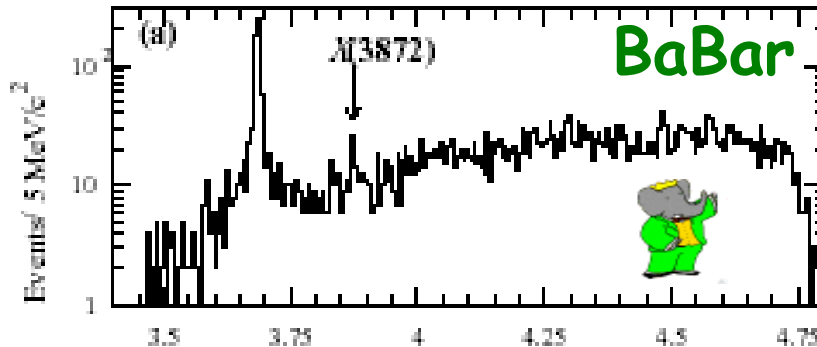
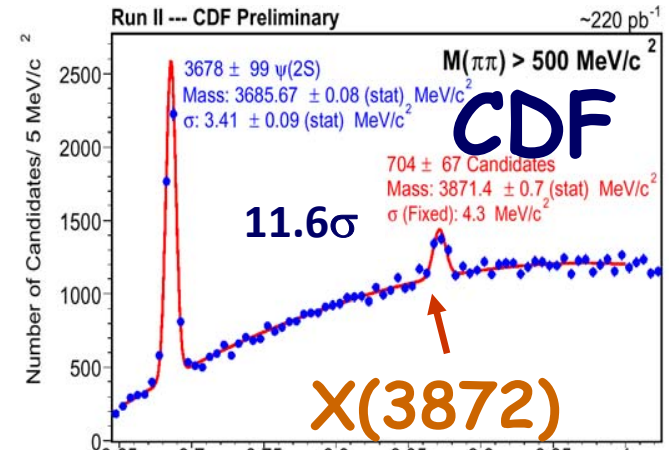
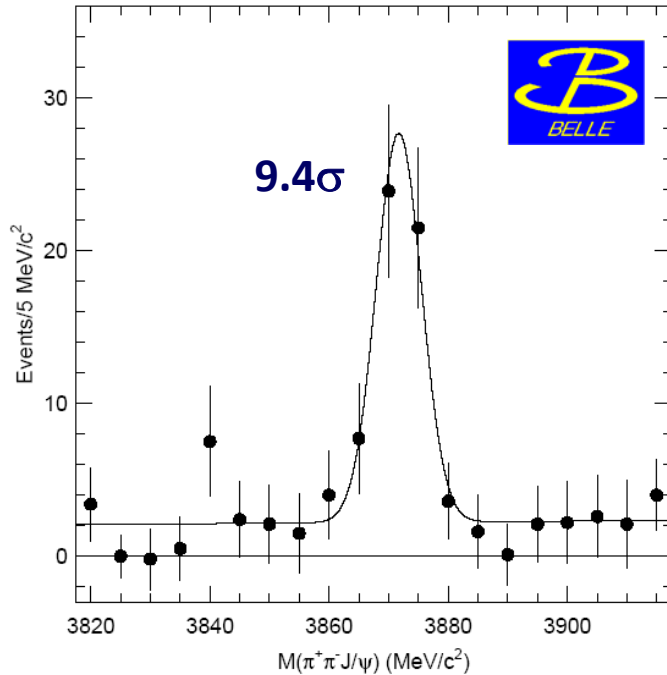
$$\alpha = m_B^2$$

$$\beta = m_B \Gamma_B$$



$$\Gamma_A = \frac{f^2}{16\pi} \frac{m_A^2 - m_B^2}{m_A^3}, \Gamma_B = \frac{g^2}{16\pi} \frac{1}{m_B}$$

X_{3872} is well established seen in 4 experiments

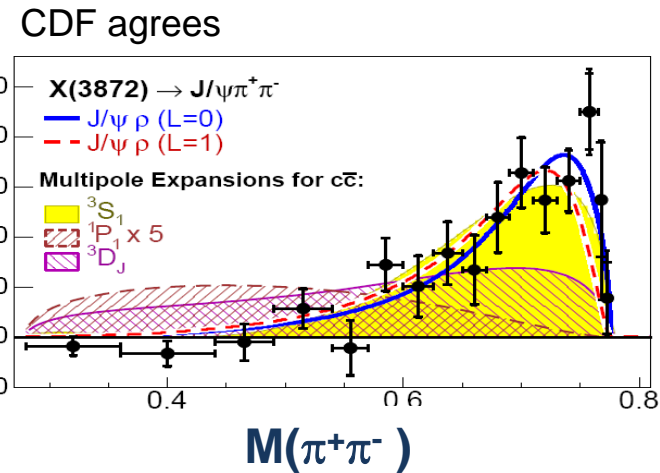
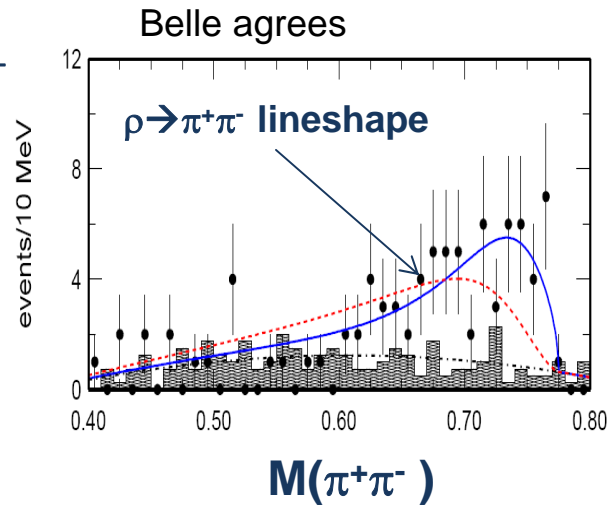
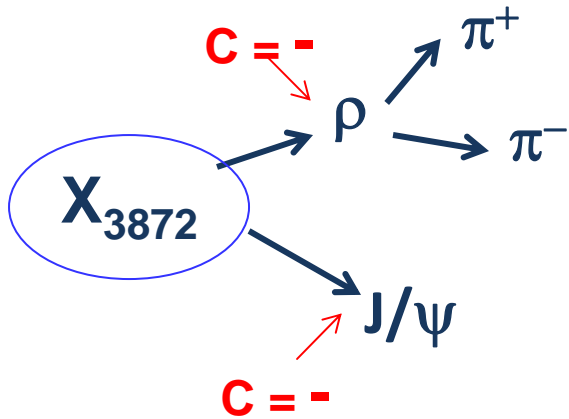


$$X_{3872} \rightarrow \gamma J/\psi \quad \longrightarrow \quad C(X_{3872}) \text{ must be } (-) \times (-) = +$$

$C = - \quad C = -$

if $C(X_{3872})$ is + :

$\pi^+\pi^-$ system in $X_{3872} \rightarrow \pi^+\pi^- J/\psi$ must come from $\rho \rightarrow \pi^+\pi^-$



从实验中**A**到**CDE**所有事例中，考虑**DE**末态粒子的不变质量谱，即事例数随**DE**不变质量 $s_1 = (p_1 + p_2)^2$ 的分布，我们就能发现，在连续的相空间背景上会叠加一个峰结构，这个峰结构就来源于共振态**B**的存在。在**CDE**三体末态中，**DE**的相空间背景来源于**A**到**CDE**的直接衰变过程，它是可以计算的

$$\begin{aligned}
\Phi_3 &= \int (2\pi)^4 \delta(p - p_1 - p_2 - p_3) \prod_{i=1}^3 \frac{d^3 \vec{p}_i}{(2\pi)^3 2E_i} \\
&= \int d^4 p_{12} \delta(p - p_{12} - p_3) \delta(p_{12} - p_1 - p_2) \prod_{i=1}^3 \frac{d^3 \vec{p}_i}{(2\pi)^3 2E_i} \\
&= \int ds_1 \delta(p_{12}^2 - s_1) \int d^4 p_{12} \delta(p - p_{12} - p_3) \delta(p_{12} - p_1 - p_2) \prod_{i=1}^3 \frac{d^3 \vec{p}_i}{(2\pi)^3 2E_i} \\
&\propto \int ds_1 \Phi_2(M; \sqrt{s_1}, m_3) \Phi_2(\sqrt{s_1}; m_1, m_2) \\
P(\sqrt{s_1}) &\propto \frac{\Phi_2(M; \sqrt{s_1}, m_3) \Phi_2(\sqrt{s_1}; m_1, m_2)}{\Phi_3}
\end{aligned}$$